

الكشف عن فيروس مرض الجلد الكتيل عند الأبقار في سوريا باستخدام تفاعل البلمرة المتسلسل

ط. ب. وفاء العتر * أ. د. سامر ابراهيم * أ. د. محمد فاضل *
(الإيداع: 9 أيار 2021 ، القبول: 10 آب 2021)

الملخص

هدفت هذه الدراسة إلى الكشف عن فيروس مرض الجلد الكتيل عند الأبقار في سوريا بعد أن ظهرت عدة بؤر في محافظة اللاذقية وحمة أدت إلى خسائر اقتصادية فادحة في قطعان الأبقار. فقد عانت هذه القطعان من ظهور عقيادات منتشرة على الجلد مع حمى وإفرازات دمعية وتضخم في العقد اللمفية. أخذت عينات من العقيادات والدم الكامل من هذه الحيوانات وخضعت بعد استخلاص الـ DNA لتفاعل البلمرة المتسلسل (PCR) باستخدام المشرعات الخاصة بالجين (RPO30). وقد بينت نتيجة الـ PCR الكشف عن فيروس الجلد الكتيل في كل العينات الجلدية وعند كل الحيوانات التي ظهرت عليها العقيادات ولم يتم الكشف عن الفيروس في دم هذه الحيوانات. في حين تم الكشف عن الفيروس في دم الحيوانات المخالطة لها والتي لم يظهر عليها سوى حمى بسيطة وإفرازات دمعية ولكن بدون ظهور عقيادات. هذه النتائج تبين بوضوح إمكانية الكشف عن فيروس الجلد الكتيل باستخدام الـ PCR وبالاعتماد على الجين (RPO30) بشكل مبكر وقبل ظهور الأعراض النوعية التي تميز مرض الجلد الكتيل وهذا قد يسمح بتقليل الخسائر الاقتصادية.

الكلمات المفتاحية: مرض الجلد الكتيل - تفاعل البلمرة المتسلسل - الجين RPO30 - محافظتي حماه واللاذقية

*معيدة وطالبة دراسات عليا - اختصاص فيiroسات - قسم الأحياء الدقيقة - كلية الطب البيطري- جامعة حماه

*استاذ التشخيص المخبرى - قسم الأحياء الدقيقة - كلية الطب البيطري - جامعة حماه

**استاذ أمراض الدواجن - قسم أمراض الحيوان - كلية الطب البيطري - جامعة حماه

Detection of Lumpy Skin Disease Virus in Cows in Syria using Polymerase Chain Reaction

Vet. Wafaa Al-Eter*

Dr. Samer Ibrahim**

Dr. Mohammad Fadel***

(Received: 9 May 2021, Accepted: 10 August 2021)

Abstract:

This study was aimed to detect the lumpy skin disease in cows in Syria, after several foci appeared in Lattakia and Hama governorates, which led to heavy economic losses in cow herds. These flocks suffered from the appearance of diffuse nodules on the skin with fever, lacrimal secretions, and enlarged lymph nodes. Nodules and whole blood samples were taken from these animals, and after DNA extraction, they were subjected to polymerase chain reaction (PCR) using primers specific to the (RPO30) gene. The result of the (PCR) revealed the detection of the lumpy skin disease virus in all skin samples and in all the animals on which nodules appeared, and the virus was not detected in the blood of these animals. Whereas, the virus was detected in the blood of the animals in contact with them, which only showed a slight fever and tear secretions, but without the appearance of skin nodules. These results clearly show the possibility of detecting the (LSDv) using (PCR) and based on the (RPO30) gene early and before the appearance of specific symptoms that characterize the disease, and this may allow to reduce economic losses.

Key words: lumpy skin disease – polymerase chain reaction– rpo30 gene – the governorates of Hama and Latakia

*Postgraduate student – Virology – Department of Microbiology – Faculty of Veterinary Medicine – Hama University

**Professor of Laboratory diagnosis – Department of Microbiology – Faculty of Veterinary Medicine – Hama University

***Professor of Poultry diseases – Department of Animal diseases – Faculty of Veterinary Medicine – Hama University

1- المقدمة :Introduction

تشكل الثروة الحيوانية وبشكل رئيس تربية الأبقار جانباً مهماً في الاقتصاد السوري الزراعي سواءً من حيث ما يضفيه هذا الجانب إلى إجمالي الناتج المحلي أو حجم القوى العاملة أو رأس المال المستثمر فيه، ورغم الاهتمام الذي توليه الحكومة وخططها الرامية إلى تحقيق الأمان الغذائي من خلال الحفاظ على صحة قطيع الأبقار في سوريا إلا أن هذه القطاعات تواجه الكثير من التحديات وخاصة تلك التي ترتبط بالأمراض والأوبئة، ففي عام 2020 ظهرت عدة بؤر في محافظتي اللاذقية وحماة في قطاع الأبقار وبأعراض تبدأ بالحمى مع ظهور عقيادات منتشرة في معظم أنحاء الجلد والأغشية المخاطية وقد شخصت عرضياً بالتهاب الجلد الكتيل.

ويعرف مرض الجلد الكتيل (Lumpy Skin Disease) بأنه مرض جلدي فيروسي معدى يصيب الأبقار وينتقل بشكل أساسى عن طريق لدغ الحشرات، يتميز المرض بالحمى والظهور المفاجئ للعقيدات على معظم أنحاء الجلد والأغشية المخاطية بالإضافة إلى تونم الأرجل ومقدمة الصدر، كما يلاحظ على الحيوانات المصابة الهزال وانخفاض في الإنتاج وتلف الجلود (OIE, 2016).

يسبب مرض الجلد الكتيل فيروس ينتمي إلى عائلة فيروسو-ات الجدري (poxviridae) والذي يتبع جنس فيروسو-ات (Capripoxvirus) ويضم هذا الجنس ثلاثة أنواع فيروسية:

Lumpy skin disease virus (LSDv) فيروس مرض الجلد الكتيل

Goat pox virus (GTPv) فيروس جدري الماعز

Sheep pox virus (SPPV) فيروس جدري الأغنام

يتراوح حجم فيروس مرض الجلد الكتيل بين (320-260) نانومتر وله شكل بيضاوي إلى مستطيل مغلق ويحوي الفيروس على الحمض النووي DNA ثالثي السلسلة، ويبلغ عدد القواعد الآزوتية حوالي Kilobase Pairs 150. يشبه هذا الفيروس كلاً من فيروس جدري الماعز وفيروس جدري الأغنام بنسبة 96% من حيث القرابة الجينية وتطابق القواعد الآزوتية (Tulman et al., 2001).

تتراوح فترة حضانة المرض بين (6-9) أيام، وبعدها تبدأ الأعراض السريرية بالظهور حيث يلاحظ ارتفاع حرارة الحيوان للدرجة 41°C وتنستمر لمدة أسبوع وانخفاض ملحوظ في إنتاج الحليب نتيجة قلة الشهية مع سيلانات أنفية ولعابية ثم ظهور عقيادات على الجلد يتراوح حجمها بين (0.5- 5 سم) وتنتمد هذه العقيادات للطبقة تحت الجلدية وتصل للعضلات وقد تتطور للأغشية المخاطية للفم والجهاز الهضمي والقصبة والرئتين وفي الحالات المتقدمة يلاحظ نخر في مركز العقيادات، كما يلاحظ على الحيوانات تضخم بالعقد اللمفية وظهور وذمات في القوائم ومقدمة الصدر، ربما تجهض الإناث الحوامل وتتصبح الثيران عقيمة بشكل مؤقت.

(Prozesky & Barnard, 1982 ; Carn & Kitching, 1995 ; Coetzer, 2004 ; Rouby & Aboulsoudb, 2016).

عادة ما تكون نسبة النفوذ منخفضة (1-3%) بينما يصل معدل الإصابة إلى (20%). ويلاحظ أن الأبقار في فترة الإدرار أكثر عرضة للإصابة (Carter et al., 2005). وتعد الحشرات الوسيطة الرئيسية للانتقال حيث تم عزل الفيروس من البعوض والذباب والقراد، كما يمكن أن ينتقل عن طريق الدم والإفرازات الدمعية والأففية وينتقل عن طريق الحليب إلى العجول الرضيعة (Tuppurainen et al., 2015).

تشابه الأعراض لهذا المرض مع بعض الأمراض الأخرى مثل: (مرض الجلد العقدي الكاذب - فيروس جدري البقر - مرض الفم والقدم - الشرى - الطاعون البقري وغيرها من الأمراض) لكن يبقى ظهور العقيادات والحمى والعقد اللمفاوية

المتضخمة هي عرض أساسي في مرض الجلد الكتيل (LSD). ويتم تشخيص المرض حقلياً من الأعراض السريرية الواضحة والصفة التشريحية. أما مخبرياً لا يمكن التمييز بين فيروس الجلد الكتيل وفيروس جدري الأغنام والماعز مصلياً، حيث كشفت المقارنات الجينية الارتباط الوثيق بين جينات هذه الفيروسات (Tulman et al., 2002).

يمكن الكشف عن الفيروس من خلال استخدام المجهر الإلكتروني وملحوظة شكل الفيروس البيضاوي المحتوي على أجسام جانبية كبيرة الحجم. واختبار تفاعل البلمرة المتسلسل Polymerase chain reaction (PCR) وهو طريقة حساسة وسريعة للكشف عن جينوم الفيروس من خلال استهداف جينات نوعية من أجل تشخيص مرض الجلد الكتيل بناءً عن المورثة RNA Polymerase 30 (RPO30) حيث تساعد هذه المورثة في الكشف السريع عن المرض . عزل الفيروس على مزارع نسيجية مثل خلايا الأدمة البقرية أو خلايا الخصية كما يمكن إجراء الاختبارات المصالية مثل اختبار (Lamien et al., 2011). (ELISA)

لا يوجد علاج سببي للمرض وإنما تعطى الصادات ومركبات السلفا لدرء العدوى الجرثومية، وتعطى أيضاً رافعات مناعة كالفيتامينات والمعويات . أما من حيث اللقاحات فقد تم استخدام أربع سلالات حية من جنس Capripoxvirus المخففة للسيطرة على تنشئي مرض الجلد الكتيل: ذرية فيروس جدري الأغنام وجدري الماعز الكينية، الذرية اليوغسلافية RM65 من جدري الأغنام، ذرية جدري الأغنام الرومانية، ذرية فيروس مرض الجلد الكتيل LSDv من جنوب أفريقيا (Brenner et al., 2006)

2- أهداف الدراسة :Objectives of Study

نظراً لأهمية المرض وللخسائر الاقتصادية التي منيت بها الثروة الحيوانية في سوريا خلال الستينيات الماضيتين ونظرًا لعدم وجود دراسة مخبرية أكاديمية حول هذا المرض في سوريا فقد هدفت هذه الدراسة إلى: الكشف عن فيروس مرض الجلد الكتيل عند قطعان الأبقار المصابة والمشخصة سريرياً أو مشتبه بإصابتها باستخدام تفاعل البلمرة المتسلسل (PCR).

3- مواد وطرق البحث :Material and methods

3-1- جمع العينات :Samples Collection

تم جمع العينات (خرزات من الجلد، الدم الكامل) وذلك من أبقار مصابة وتنظر عليها أعراض المرض بوضوح وأهمها العقيدات الجلدية، ومن أبقار كانت مخالطة للأبقار المصابة وتعاني من أعراض بدائية كارتفاع درجة الحرارة وقلة الشهية بدون عقيدات جلدية. وذلك خلال الفترة الممتدة من شهر نيسان وحتى شهر آب لعام 2020 من عدة مناطق من محافظتي حماه واللاذقية، حيث تم أخذ الخرزات الجلدية بعد تعقيم الجلد مكان الخزعة باليود ثم بوساطة مشرط معقم تم اقتطاع جزء من العقيدة تشمل طبقة الجلد وتحت الجلد ثم وضعت العينات في عبوات بلاستيكية عقيمة محكمة الإغلاق وسجلت على كل عبوة البيانات الخاصة بها. أما عينات الدم تم جمعها من الوريد الوداجي بعد التعقيم حيث تم أخذ 5 مل من الدم الكامل باستخدام أنابيب مفرغة من الهواء تحوي مانع التخثر E.D.T.A، ونقلت العينات جميعها إلى مختبر الأحياء الدقيقة في كلية الطب البيطري بحماة بوساطة حافظة ثلاجية باردة مناسبة، وحفظت على الدرجة -20 لحين متابعة العمل عليها وبيان الجدول رقم (1) أعداد الحيوانات وأماكن ونوع العينات.

الجدول رقم (1): يبين عدد الحيوانات التي أخذت منها العينات والمنطقة الجغرافية وعدد العينات النسيجية والدموية

المحافظة	المنطقة	عدد الحيوانات	عينات النسيج	عينات الدم
اللاذقية	الحوير	3	2	3
	حوران البدوي	2	2	
	البرجان	10	7	6
حماه	ديمو	7	6	7
	سرighin	1	1	-
	مصالف	5	5	2
المجموع الكلي		28	23	20

3-استخلاص الدنا الفيروسي :Viral DNA Extraction

3-2-1-استخلاص الدna الفيروسي من عينات الدم:

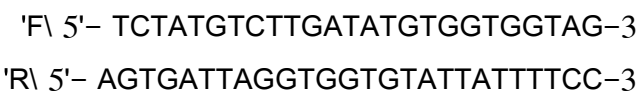
تم استخلاص الدNA من عينات الدم الكامل باستخدام عتيقة تجارية (vivantis / GF-1Blood DNA Extraction Kit lot:12390C) وحسب تعليمات الشركة المصنعة أخذت كمية (200) μl من عينة الدم الكامل وأضيف إليها (200) μl من محلول (BB) Blood Lysis Buffer وتم المزج بالرج الشديد باستخدام جهاز vortex، ثم أضيف للعينة البروتيناز K وحضنت على الدرجة 65 مئوية مدة عشر دقائق. بعد إضافة (200) μl من الإيثانول المطلق والمزج، نقلت إلى الأعمدة الخاصة بالعتيدة وتم تنقيل الأعمدة بقوة 95000 لمرة دقيقة واحدة ثم نقلت الأعمدة إلى أنابيب جديدة لإجراء خطوتي الغسيل، وأخيراً تم إضافة (100) μl من الدارئة (EB) Elution Buffer إلى الأعمدة وتنقلت للحصول على السائل الحاوي على الدNA وحفظت العينة عند الدرجة -20 لحين إجراء اختبار تفاعل البوليميراز المتسلسل.

3-2-2-استخلاص الدna من عينات النسيج:

استخدم لهذا الغرض عتيقة تجارية (PeQlab/ peq Gold Tissue DNA Mini Kit lot:08076) تم أخذ كمية (30-35) mg من عينة الجلد وأضيف إليها (200) μl من محلول (TL) وتم المزج بجهاز vortex، ثم حضنت العينة مع إنزيم البروتيناز K مدة 3 ساعات على الدرجة 60 مئوية، وبعدها أضيف (220) μl من محلول (BL) ووضعت العينة على الدرجة 70 مئوية مدة عشرة دقائق، ثم أضيف (220) μl من الإيثانول المطلق ومزجت جيداً ونقلت للأعمدة المخصصة بالعتيدة، ثم نقلت الأعمدة بقوة 98000 لمرة دقيقة واحدة وتم التخلص من السائل. ثم طبقت على الأعمدة خطوتي الغسيل باستخدام محلول (WB) وأخيراً أضيفت (150) μl من الدارئة (EB) وتنقلت للحصول على الدNA الذي حفظ عند الدرجة -20 لحين إجراء اختبار تفاعل البوليميراز المتسلسل.

4-2-تفاعل البوليميراز المتسلسل (PCR):

خضعت مستخلصات الـ DNA للدم والنسيج لتفاعل البوليميراز المتسلسل للكشف عن المورثة (RPO30) والتي يبلغ طولها 172 pb باستخدام زوج من المريضات (Primers) وكانت التسلسلات المستخدمة:



تم الحصول عليها من شركة (Macrogen.Korea) وذلك حسب طريقة العمل المتبعة من قبل (Lamien et al., 2011)

أضيف (5μl) من مستخلص الـ DNA، إلى مزيج التفاعل المؤلف من:

(1μl) من تسليلي البايئات (10pmol/μl)، (1μl) من dNTPs قواعد آزوتية (10mM)، (4μl) من كلوريد المغנזيوم (10x)، (50mM)، (50mM) من دارئة الاختبار (Taq DNA Polymerase) (vivantis/Malaysia) ، وتم إكمال المزيج بماء مقطر حتى (50μl).

وتم التضخيم في جهاز المدور الحراري: (Techne/512) Thermal cycler وفق البرنامج الآتي:

مرحلة التنسخ الأولى: Initial denaturation على 95 درجة مئوية لمدة 5 دقائق / دورة واحدة.

مرحلة التضخيم وعددها 35 دورة على الشكل التالي: 94 درجة مئوية مدة 50 ثانية و 55 درجة مئوية مدة 40 ثانية و 72 درجة مئوية مدة دقيقة و 20 ثانية.

مرحلة الاستطالة النهائية: Final extension على 72 درجة مئوية لمدة 5 دقائق / دورة واحدة.

تم ترحيل نواتج الترхيل باستخدام هلام الأغاروز ذات التركيز 1.5% المضاف إليها بروميد الإيثيديوم، وبعد فترة كافية من الرحlan، تم فحص الهلام على جهاز تظهير الهلام بالأشعة فوق البنفسجية UVIDPRO/ Gel Documenter لتحقی وجود أنطقة الـ DNA المطلوبة (172 قاعدة آزوتية) حيث تم الاستدلال عليها مقارنة مع معلم الوزن الجزيئي 100 .bp DNA Ladder

4- النتائج والمناقشة : Results and Discussion

عند الفحص السريري للأبقار المصابة في بؤر الإصابة لوحظ عقيدات منتشرة على كامل جسم الحيوانات كما أظهرت الحيوانات المصابة عدة علامات أخرى كقلة شهيبة مع إفرازات أنفية ودمعية وعاتمة بالقرنية وحمى وظهور وذمات في الأرجل ومقدمة الصدر وتضخم بالعقد اللمفية. في حين أظهرت الأبقار المخالطة لها أعراض عامة تتمثل بحمى العرض الأساسي مع إفرازات أنفية ودمعية لكن بدون ظهور عقيدات.

نتائج تفاعل البوليميراز المتسلسل للعينات النسيجية:

أظهرت نتائج تضخيم الـ DNA لمستخلصات العينات النسيجية عن وجود المورثة RPO30 التي تساعد في الكشف السريع والنوعي عن وجود الفيروس والبالغ طولها 172 bp عند جميع العينات المأخوذة من الأبقار التي أظهرت عقيدات جلدية وهذا ما تואقق مع دراسة (Lamien et al., 2011) بأنه يمكن استخدام تفاعل البلمرة المتسلسل في تحديد وجود المرض في عينات الجلد.

ذكرت العديد من المصادر الأخرى أنه يمكن الكشف عن الفيروس من عينات (دم، حليب، سائل منوي) باختبارها بوساطة الـ PCR ولكن تبقى خزعات الجلد هي الأفضل حيث تحوي على الكثير من الجسيمات الفيروسية أعلى مما هو عليه في

العينات الدموية وهذا ما أكدته هذه الدراسة حيث توقفت مع ما توصل إليه (Tuppurainen et al., 2005). ويوضح الشكل رقم (1) هذه النتائج.



الشكل رقم (1): نتائج العينات النسيجية

الشكل رقم (1): يشير العمود (M) إلى معلم الوزن الجزيئي 100 bp DNA ladder وتشير باقي الأعمدة (من 1 إلى 9) إلى النتائج الإيجابية لوجود المورثة (RPO30) ذات الوزن 172bp.

نتائج تفاعل البوليميراز للعينات الدموية:

تبينت نتائج العينات الدموية حيث لم تظهر بعض العينات النطاق النوعي للمورثة (RPO30) بالرغم من وجود العقيدات الجلدية على الحيوانات الذي أخذت منها العينة بينما ظهر النطاق النوعي للمورثة (RPO30) في العينات المأخوذة من حيوانات تعاني من أعراض عامة مثل ارتفاع درجة حرارة الجسم وقلة شهية وإفرازات دمعية وأنفية ولكن بدون عقيدات جلدية مميزة للمرض ولكنها كانت من حيوانات مخالطة، ويفسر هذا التباين أن الفيروس يوجد في الدم لفترة قصيرة وعند ظهور العقيدات على الحيوان يتم تركيز الفيروس في العقيدات الجلدية وهذه النتيجة توقفت مع التقارير السابقة من قبل (Zegnalova et al., 2016).

أفادت هذه النتيجة عن التشخيص المبكر للمرض للقيام بإجراءات الحجر والوقاية قبل انتشاره لباقي الحيوانات المخالطة في الحظيرة أو في المنطقة المجاورة.

إن إمكانية الكشف عن تواجد الفيروس في الدم عند حيوانات تعاني من أعراض عامة ومجاورة لحيوانات أظهرت العقيدات الجلدية يسمح بالتشخيص المبكر للمرض وبالتالي تطبيق الإجراءات الصحية والوقائية...

كما أفادت هذه الدراسة أن عينات الجلد هي الأنسب للكشف عن المرض في مرحلة ظهور العقيدات بينما عينات الدم لا ينصح بها إلا في المراحل المبكرة للمرض وقبل ظهور العقيدات. ويوضح الشكل رقم (2) هذه النتائج.



الشكل رقم (2): نتائج العينات الدموية

تشير الأعمدة رقم (2,3,4,5,7) لوجود المورثة RPO30 حيث أخذت من حيوانات تعاني من أعراض عامة وبدون وجود للعقيدات الجلدية المميزة للمرض. بينما الأعمدة رقم (1,6) ظهرت سلبية للمورثة RPO30 بالرغم من وجود العقائد المنتشرة بشدة على جسم الحيوان والحالة المتقدمة للمرض.

5- الاستنتاجات :Conclusions

يمكن أن نستخلص من هذه الدراسة مجموعة من النقاط أهمها:

- 1- التأكيد الدقيق على وجود مرض الجلد الكتيل في سوريا باستخدام تفاعل البلمرة المتسلسل في كل من محافظتي حماه واللاذقية.
- 2- يمكن الكشف المبكر عن المرض عن طريق العينات الدموية قبل ظهور العقائد الجلدية باختبار الـ PCR

6- التوصيات :Suggestions

توصي الدراسة بمتابعة العمل من أجل:

- 1- التوصيف الجيني لمرض الجلد الكتيل من خلال دراسة أهم جيناته.
- 2- محاولة عزل الفيروس في المختبر على أحنة بيض الدجاج.
- 3- دراسة القرابة الجينية من الأوبئة المنتشرة في سوريا بين جينات فيروس مرض الجلد الكتيل مع ذراري أخرى من مختلف أنحاء العالم وكذلك محاولة فهم عمليات فشل التحصين ضد المرض.

7- المراجع :References

- 1- BRENNER J., HAIMOVITZ M., ORON E., STRAM Y., FRIDGUT O., BUMBAROV V., KUZNETSOVA L., OVED Z., WASERMAN A., GARAZZI S., PERL S., LAHAV D., EDERY N. & YADIN H. (2006). Lumpy skin sease (LSD) in a large dairy herd in Israel. Isr. J. Vet. Med., 61, 73–77
- 2- CARN V.M. & KITCHING, R.P. (1995). The clinical response of cattle following infection. with lumpy skin disease (Neethling) virus. Arch. Virol., 140, 503–513
- 3- CARTER, G.R., WISE, D.J., & FLORES, E.F. (2005). Aconcise review of veterinary virology. Retrieved from <http://www.ivis.org/home.asp>.

- 4- COETZER J.A.W. (2004). Lumpy skin disease. In: Infectious Diseases of Livestock, Second Edition Coetzer J.A.W. & Justin R.C., eds. Oxford University Press, Cape Town, South Africa, 1268–1276
- 5- LAMIEN C.E., LELENTA M., GOGER W., SILBER R., TUPPURAINEN E., MATIJEVIC M., LUCKINS A.G. & DIALLO A. (2011). Real time PCR method for simultaneous detection, quantitation and differentiation of capripoxviruses J. Virol. Methods, 171, 134–140.
- 6- PROZESKY L. & BARNARD B.J.H (1982). A study of the pathology of lumpy skin disease in cattle. Onderstepoort j. vet. Res., 49, 167–175.
- 7- Rouby S. & Aboulsoudb E. (2016). Evidence of intrauterine transmission of lumpy skin disease virus. Vet. J., 209, 193–195.
- 8- TUPPURAINEN E.S., VENTER E.H., COETZER J.A. & BELL-SAKYI L. (2015). Lumpy skin disease: attempted propagation in tick cell lines and presence of viral DNA in field ticks collected from naturally-infected cattle. Ticks Tick Borne Dis., 6, 134–140.
- 9- TUPPURAINEN E.S., VENTER E.H., COETZER J.A..(2005). The detection of lumpy skin disease virus in samples of experimentally infected cattle using different diagnostic techniques. Onder J Vet Res, 72(2): 153–64.
- 10- TULMAN, E.R., AFONSO, C.L., ZSAK, LU.Z., KUTISH, G.F &. ROCK, D.L.,(2001) genome of lumpy skin disease virus. Journal of virology, 75(15): 7122–7130.
- 11- TULMAN, E.R., AFONSO, C.L., ZSAK, LU.Z., SANDYBAEV, N.T., KEREMBEKOVA, U.Z., ., KUTISH, G.F &. ROCK, D.L., (2002). The genomes of sheepox and goatpox viruses. J. virol. 76, 6054–6061.
- 12- WORLD ORGANIZATION FOR ANIMAL HEALTH (OIE). (2016). Lumpy skin disease. Terrestrial manual. Retrieved from www.oie.net.
- 13- ZEYNALOVA, S., ASADOV, K., GULIYEV, F., VATANI, M.(2016). Epizootiology and molecular diagnosis of lumpy skin disease among livestock in azerbaijan. Front microbial.7: 1–7